

IV. Anexo Zona no saturada

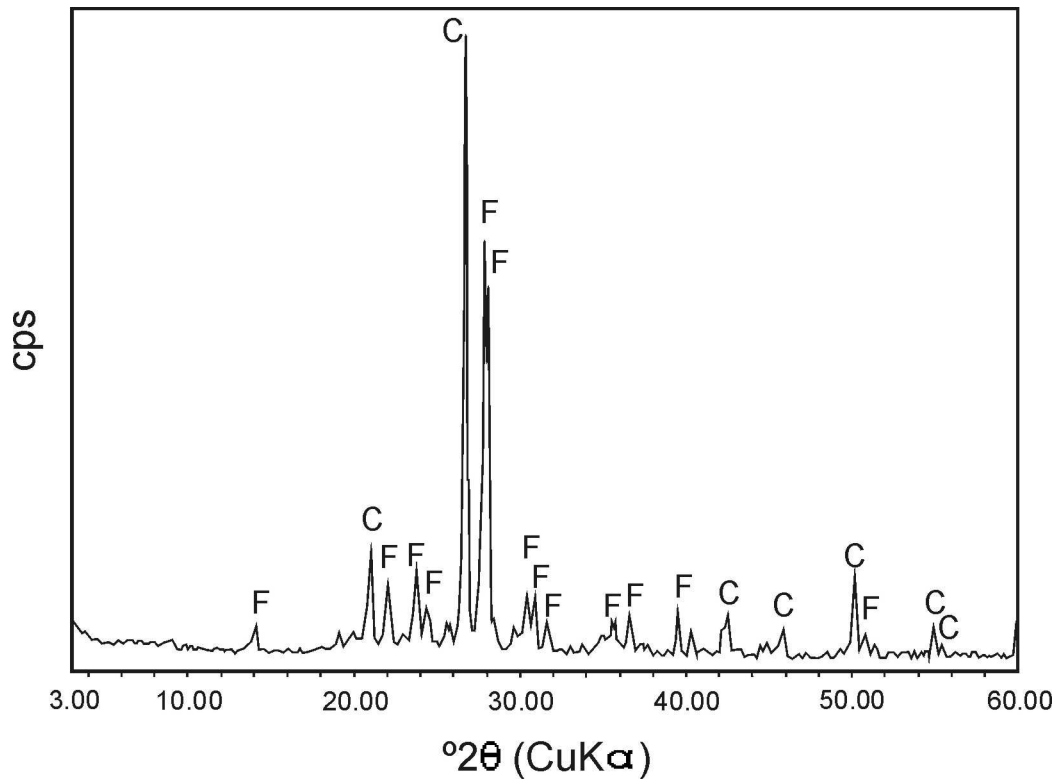


Figura 5.3.2.1.a. Difractograma de rayos X del material de relleno de la parcela experimental (fracción arena). Se identificaron cuarzo (C) y feldespato (F)

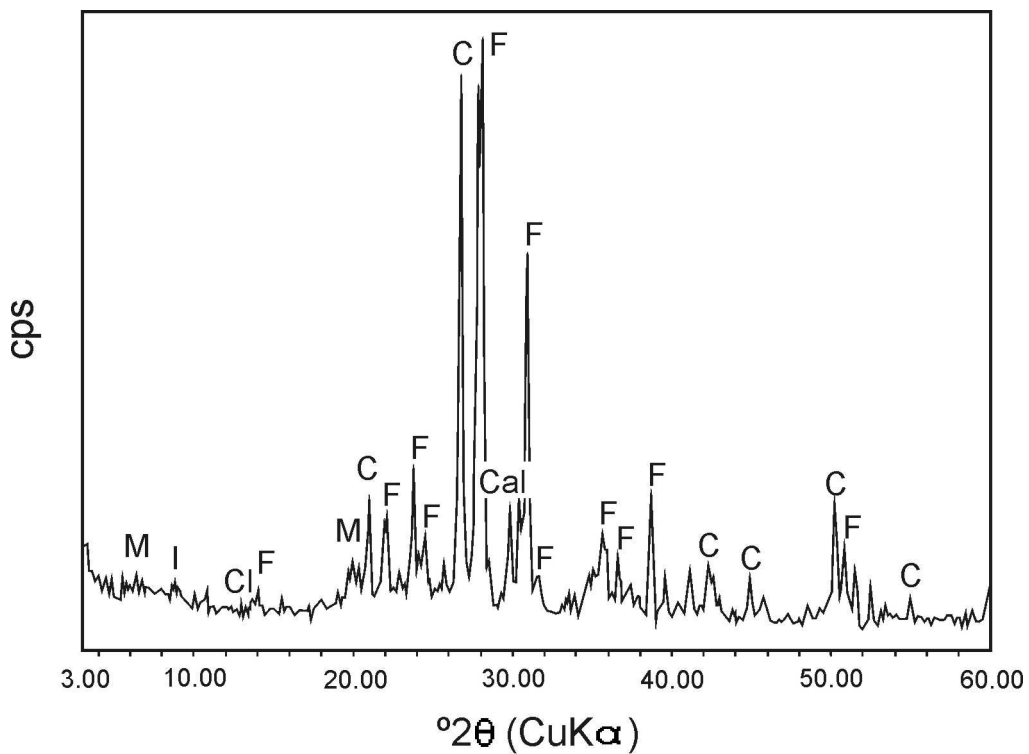


Figura 5.3.2.1.b. Difractograma de rayos X del material de relleno de la parcela experimental (fracción fina). Algunos de los picos característicos de los minerales presentes se identificaron como: M = montmorillonita; I = illita; Cl = clorita; F = feldespato; C = cuarzo, Cal = calcita

Tabla 6.3.2.1. Propiedades fisicoquímicas de los suelos

	P ₁			P ₂	
	P _{1A}	P _{1B}	P _{1C}	P _{2A}	P _{2B}
pH ¹	8,4	8,2	8,4	8,0	8,0
pH ²	7,2	7,8	7,8	7,6	7,5
Materia orgánica (%) ³	0,86	0,83	0,63	0,90	0,68
CIC (cmol _c kg ⁻¹) ⁴	30	26	23	23	29
CE (S m ⁻¹) ⁵	15,5	4,37	5,4	3,29	2,75
Hg inicial (µg kg ⁻¹) ⁶	50	40	20	770	240
Arena(%) ⁷	3	1	4	9	5
Limo(%) ⁷	40	32	37	33	38
Arcilla(%) ⁷	57	67	59	58	57
Minerales arcillosos predominantes	interestratificados illita-montmorillonita y clorita				

¹ Medido en suspensión acuosa; ² Medido en KCl 1M relación suelo/solución 1:2,5; ³ Método de Walkey (1946); ⁴ Capacidad de intercambio catiónico: método de Bower *et al.* (1952); ⁵ Conductividad eléctrica del extracto de pasta saturada; ⁶ Determinado por ICP-MS; ⁷ Método de la pipeta: Robinson (1922); ⁸ Determinado por difracción de rayos X (DRX)